ミストCVD法による酸化アルミニウム薄膜の作製とその絶縁特性に関する研究

Study on the fabrication and insulation characteristics of AlOx thin film by Mist CVD

知能機械工学コース

材料革新サスティナブルテクノロジー研究室 1245022 福江 雅

1. 背景

電子デバイス内の素子には、半導体薄膜や金属薄膜の他、 絶縁体薄膜も用いられている. 電子デバイス内における代表 的な絶縁膜には主に SiO₂ が用いられているが, 近年の電子 デバイスの微細化に伴い SiO2 膜が薄くなっていくと膜内で 漏れ電流が生じてしまうことから,より高い誘電率を持つ絶 縁体材料が求められている. SiO2 に代わるとされている高誘 電率材料はhigh-κ材料と呼ばれ,高い誘電率を持つことから, より薄膜化した場合に SiO₂ の場合と比べ膜内の漏れ電流を 抑えられると期待されている(1). AlOx はそのうちの一つであ る. AlOx は希少性が低く比較的安価であるため、研究が盛 んに行われている. また近年では電子デバイスの微細化だけ でなく, 環境保全のため産業の省エネルギー化も求められて いる. 現在広く利用されている薄膜作製手法は真空環境を必 要とするものが多く,成膜室内の真空化に多くのエネルギー を使用している. 我々の研究室では, 真空を必要としない, 大気圧下での成膜が可能なミスト化学気相成長法(ミスト CVD)を使用しており、この手法は省エネルギーで高品質な 膜の作製が可能である.

2. 先行研究と研究目的

先行研究により、ミスト CVD でも既に誘電率の高い AlOx 薄膜の作製に成功している $^{(2)}$. その AlOx の絶縁特性とその成膜条件を表 1 に示す. 溶媒はMethanol(以下MeOH)に H_2 Oを 9:1 で添加したものを使用している. また成膜中に 0_3 ガスを支援することにより、より高い絶縁破壊電界強度 $E_{BD}=8.0$ (MV/cm)および比誘電率 $\varepsilon_r=7$ (-)を達成し、成膜温度については 0_3 支援無しの場合よりもおよそ 60°C低下させることに成功している $^{(3)}$.

Table 1 Previous research Air $Air + O_3$ gas $E_{\rm BD}~({\rm MV/cm})$ 6.0 8.0 Relative permittivity ε_r [-] 6.0 7.0 Roughness(nm)@350°C 1.2 0.3 Min. Temp. (°C) > 400 > 340 Al(acac)₃ Solution $MeOH + H_2O(9:1)$ Solvent

ところでミスト CVD による成膜では,原料溶液や支援剤などを変えることで作製した薄膜の特性が変化する。そこでどのような条件で成膜すれば,ミスト CVD における AlOx の絶縁性や誘電率を向上させることが可能であるか調査し、AlOx 薄膜形成のメカニズム解明に取り組んだ。本研究では原料溶液の溶媒種を MeOHの他に, Acetonitrile (以下AN), Methyl Acetate(以下MeAc)を用いて溶液を調製し,成膜結果の比較を行った.これにより,溶液の観点からミスト CVD における AlOx 薄膜形成の要因を見つけ出し,高い絶縁性が得られるメカニズムを解明することを目的とした.

3. ミスト化学気相成長法

ミスト化学気相成長法(CVD)は、原料溶液を超音波振動によってミスト化し、高温反応炉内の基板上でミストが熱化学 反応を起こすことにより成膜する手法である。ミスト CVD の反応炉の方式にはいくつか種類があるが、本研究では Fine Chanel 式反応炉を使用した。図1にその概要図を示す。成膜 領域において、高温かつ流路高が1mmという非常に狭い平行 平板内に基板を設置することで、流れ込むミストを効率よく 昇温、基板へ付着させることを可能にしている。



Figure 1 Fine Channel type mist CVD system

4. 研究内容

(i) MeOH, AN, MeAc溶媒を用いた比較実験

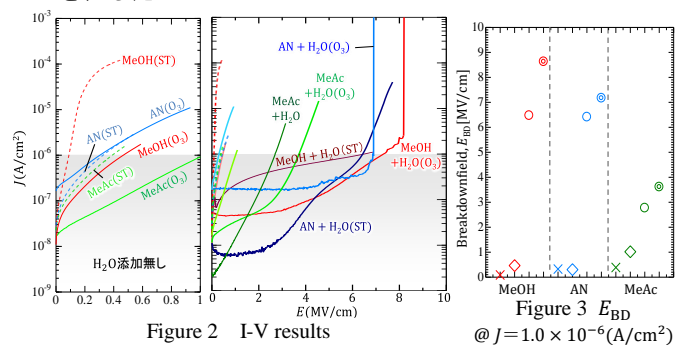
溶質に $Al(acac)_3$,有機溶媒にMeOH, AN, MeAcを用いて溶液を作製し、成膜した AlOx の絶縁性を溶媒種の観点から比較する.表 2 に成膜条件を示す。MeOHについて、 H_2O を 9:1 で添加することにより AlOx 作製に効果的であることから、AN, MeAcを含めた純有機溶媒 3 種に対して H_2O 添加無し、有りの 6 種の溶液を調製した。また、各溶液条件について、 O_3 支援無し(ST:Standard 条件)、有り(O_3 条件)で成膜し、 O_3 支援の効果を調べた。成膜した AlOx は FT-IR 測定により膜内に残留した未酸化反応物質を調べた。またサンプル表面に直径 0.01~0.1cm の Al 金属電極を蒸着させ、Al 電極と背面の Si 基板を介した I-V 測定により AlOx 膜の絶縁特性を評価した。ここでは I-V 測定結果のみを述べる。

Table 2 AlOx Growth Condition

Condition	:	ST (Standard)	03
Solute	:	Al(acac) ₃	
Solvent	:	$ \begin{array}{l} \text{1. Methanol, 2. Acetonitrile, 3. MethylAcetate} \\ \text{4. Methanol}^{9,1} + \text{H}_2 O (9:1) \\ \text{5. Acetonitrile}^{0} + \text{H}_2 O (9:1) \\ \text{6. MethylAcetate}^{d)} + \text{H}_2 O (9:1) \end{array} $	
Concentrate	:	0.050 mol/L	
Thickness		≈180~230 nm	
Growth Temperature	:	400°C	
Substrate	:	Si	
Carrier gas	:	N ₂ , 2.5L/min	N ₂ , 2.5L/min
Dilution gas	:	N2, 4.5L/min	N ₂ , 3.0L/min
Assistance gas	:	<u> </u>	O ₃ , 5000 ppm in O ₂ , 1.5 L/min

各条件で作製した AIOx の I-V 測定結果と絶縁破壊電界強度 E_{BD} を図 2、3 に示す。 E_{BD} は I-V 測定結果より,膜内に電流密度 $J=1.0\times10^{-6}(A/cm^2)$ が流れた時点の電界強度 (MV/cm)である。図 3 は,サンプル膜上で複数回測定を行った際に最も多かった値域の E_{BD} 代表値を示している。いずれの溶液条件も H_2O 添加無しではほとんど絶縁性が無く, H_2O を添加することで絶縁性が向上している。またMeAcは H_2O を添加しても $E_{BD}=4$ 程度が限界であった。 O_3 支援の効果については, $MeOH+H_2O$ の方が $AN+H_2O$ よりも大きく絶縁性が向上

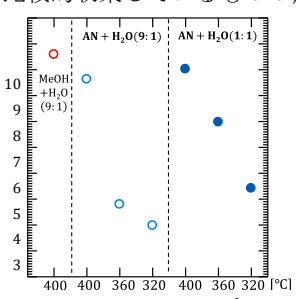
しており、 $MeOH+H_2O$ は $E_{BD}=8$ 以上、次いで $AN+H_2O$ は $E_{BD}=7$ 程度であった.以降、この $MeOH+H_2O(O_3)$ 条件と $AN+H_2O(O_3)$ 条件が絶縁性にもたらす違いを調査していくことにした.



(ii) AN + H₂O溶媒のH₂O添加量,成膜温度調査

溶媒分子に含まれるの0原子の数について見てみると、MeOH(CH $_3$ OH)は0原子 1 つ、AN(CH $_3$ CN)は0原子 0 である. AlOx は酸化物であるため、溶液内の0原子数は AlOx 結晶成長に影響していると推察できる。単位体積あたりのMeOH + H $_2$ O(9:1)の 0 原子数と同等の 0 原子数を得るため、AN:H $_2$ O=1:1添加した溶媒を調製し、AN+H $_2$ O(9:1)溶媒と共に AlOx を作製した。いずれも 0_3 支援を行い、成膜温度を320 $^\circ$ C、360 $^\circ$ C、400 $^\circ$ Cで設定した。

図 4, 図 5 に絶縁破壊電界強度 E_{BD} の結果を示す。図 4 は図 3 と同様に代表値であり,図 5 は 3 つの溶液条件(成膜温度 400 度)の AlOx について,測定した点数分の E_{BD} ヒストグラムであり,ばらつき度合いを比較する.成膜温度について, $AN + H_2O(1:1)$ 溶媒では 400° と 360° でも同程度の絶縁性が得られ, H_2O 添加量を増やすことにより 40° 低い温域でも絶縁性の高い AlOx が形成可能であることがわかった.しかし図 5 について $MeOH + H_2O$ 溶媒で成膜した AlOx と比較すると, $AN + H_2O$ 系は測定箇所によって E_{BD} のばらつきが大きく,(9:1) では $3\sim9$ (MV/cm) と広い範囲で E_{BD} が分布し,平均的には $E_{BD} = 6$ 程度であった.(1:1) では 6 (MV/cm) あたりに比較的収束しているものの,0 (MV/cm) 付近も数点見られた.



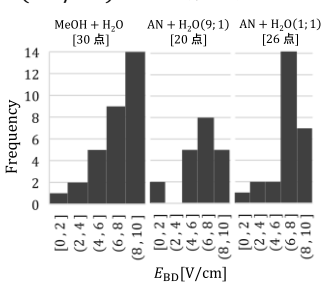


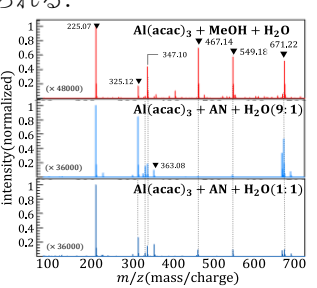
Fig 4 $E_{BD}@J = 1.0 \times 10^{-6} (A/cm^2)$

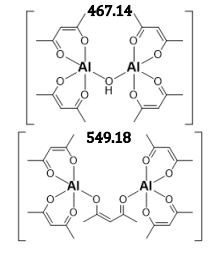
Fig 5 E_{BD} @400°C histograms

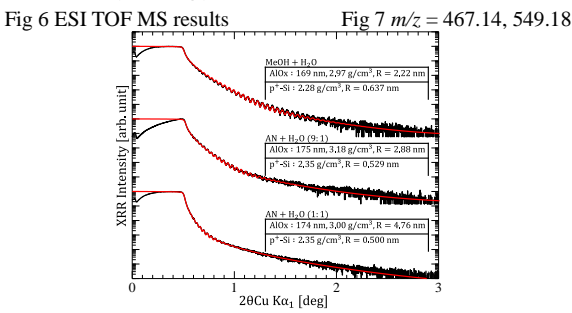
(iii) 質量分析による溶液状態の調査および AlOx の XRR 測定 (ii)で述べた 3 条件の溶液について,溶液の観点からミスト CVD における AlOx の成膜メカニズムを考えるにあたって, ESI-TOF-MS より溶液内物質の質量分析測定を行った.

MeOH + $H_2O(9:1)$, $AN + H_2O(9:1)$, $AN + H_2O(1:1)$ の各溶 媒に対して $Al(acac)_3$ を溶解させた溶液の質量分析結果を図 6 に示す。例えば,m/z=325.12 のピークは分析により原料である $Al(acac)_3$ に由来するものであることがわかっている。3 つの溶液について,ほとんどの質量ピークは一致しているが, $MeOH + H_2O(9:1)$ と $AN + H_2O(1:1)$ にはm/z = 467.14,549.18 のピークが現れていることがわかる。この2 つの物質は分析結果より,それぞれ図 7 に示す構造を持った錯体に由来するものであることがわかった。ここで、Al 原子の結合手の数に

ついて着目すると、Al(acac)3では6本であり、図7に示した 物質では共に5本である。単純に、この結合手が少ないほう が熱分解により Al^{3+} を得やすいと仮定すると、 $AN + H_2O(9:$ 1)の溶液と比べてMeOH + H₂O(9:1)やAN + H₂O(1:1)はm/z =467.14,549.1 由来の物質を多く含むため,AI 源が熱分解さ れやすい状態だと言える.実際,図6を見るとわかるように、 AN + H₂O(9:1)は絶縁性を得るのに 400℃の成膜温度が必 要であったが, AN + H₂O(1:1)では 400℃より低温で絶縁性 が得られている. また以上の結果と比較して膜の表面状態を 調べるため, XRR 測定を行った. 3 つの溶液条件(成膜温度 400℃)で成膜したサンプルの測定結果を図8に示す.3つの 溶液条件で粗さが異なっており、 $MeOH + H_2O$ の場合である R=2.22 nm に比べて、AN系はH₂O添加量(9:1)のとき 0.66 nm ほど荒く, (1:1)では 2 nm ほど粗さが増加することがわ かった. また質量分析測定について, 12 時間ほど経過した溶 液を測定したところ、Al(acac)₃ + MeOH + H₂Oはピーク状態 に変化がなかったが、 $Al(acac)_3 + AN + H_2OO$ 2 溶液につい てはイオンのピーク強度がほとんど得られなくなった. 以上 の結果をふまえて,この溶液状態の経時的な不安定さが成膜 時の表面粗さに起因し、これにより薄膜自体にピンホールな どが形成され、粗い所では絶縁性のばらつきが起こると考え られる.







結言

原料溶液の観点から AlOx の絶縁特性を調査するため、先行研究の $MeOH + H_2O(9:1)$ 溶媒条件の比較対象として $AN + H_2O(9:1)$ 溶媒を $AN + H_2O(1:1)$ 溶媒を用いて AlOx の作製を行った。 $MeOH + H_2O(9:1)$ と $AN + H_2O(1:1)$ に関して成膜温度が低温化できる要因として Al 錯体の結合手の数が関係しているであろうことが判明した他、 $AN + H_2O$ 系の 2 つのは溶液状態が不安定な特徴があり、これが表面粗さに影響していることが考えられた。以上のことについて、ミスト CVDにおける AlOx 作製について、高い絶縁性を得るための新たな知見が得られ、また絶縁性のばらつきに関しては今後改善していくべき課題と言える。

Fig 8 XRR results

謝辞

環境理工学群の伊藤亮孝先生に、TOFMS の使用方法、解析についてご教示頂きました.誠に感謝致します.

文献

- (1) 渡辺平司 ,生産と技術 第57巻 第3号(2005)
- (2) T. Kawaharamura, et al., AIP Advances 3 (2013) 032135,
- (3) T. Uchida, T. Kawaharamura, et al., APEX 7 (2014) 021303